

# 南京大學

## 计算机科学与技术系

### 图形绘制技术

### Lab2 实验报告

实验名称： 材质模型

学 号： 201830204

姓 名： 顾秋涵

实验时间： 2023.4

# 目 录

|                              |    |
|------------------------------|----|
| 一、 经验模型 .....                | 3  |
| 1. Phong 光照模型 .....          | 3  |
| 1.1 补全代码 .....               | 3  |
| 1.2 结果验证 .....               | 3  |
| 1.3 分析不同参数的影响 .....          | 3  |
| 1.4 思考题 .....                | 7  |
| 二、 基于物理的模型 .....             | 7  |
| 1. Oran-Nayar 模型 .....       | 7  |
| 1.1 补全代码 .....               | 7  |
| 1.2 结果验证 .....               | 8  |
| 2. Torrance-Sparrow 模型 ..... | 8  |
| 2.1 补全代码 .....               | 8  |
| 2.2 结果验证 .....               | 12 |
| 2.3 分析选用不同模型的影响 .....        | 13 |
| 三、 总结 .....                  | 14 |
| 四、 参考博客 .....                | 15 |

## 一、 经验模型

### 1. Phong 光照模型

#### 1.1 补全代码

(1) 根据计算公式

$$\begin{aligned} L &= L_a + L_d + L_s \\ &= k_a I_a + k_d \frac{I}{r^2} \mathbf{n} \cdot \mathbf{l} + k_s \frac{I}{r^2} (\mathbf{v} \cdot \mathbf{l}_r)^p \end{aligned}$$

将各个变量反映到代码中:

- Phong 模型 BRDF 实现不包括环境光项
  - 由于 Phong 模型中  $I/r^2$  项包含在光源采样步骤中, 因此 BRDF 中不包含  $I/r^2$ 。
  - 平衡系数  $k_d$ 、 $k_s$ 、高光衰减系数  $p$ 、法线方向  $\mathbf{n}$  已知
  - 光照方向 (从物体表面看向光源)  $\mathbf{l}$  即为入射光的反方向
  - 光照反射方向  $\mathbf{l}_r$  和视点观察方向  $\mathbf{v}$  均为出射光方向
- (2) 确定步骤
- 转换坐标系到局部坐标
  - 根据公式计算漫反射的贡献  $K_d$  和环境光的贡献  $K_s$
  - 返回  $K_d + K_s$
- (3) 代码

```
virtual Spectrum f(const Vector3f &wo, const Vector3f &wi) const override {
    Spectrum diffuse{0.f};
    Spectrum specular{0.f};
    // TODO
    // 1. 转换坐标系到局部坐标
    Vector3f win=toLocal(wi);
    Vector3f wout=toLocal(wo);

    // 2. 根据公式计算 K_d, K_s
    Vector3f l=win*(-1.0); //光照方向 (入射光的反方向)
    diffuse=kd*dot(normal,win);
    specular=ks*pow(dot(wout,wout),p); //RGB的赋值: 可以用另一个RGB来赋值, 也可以用float来赋值

    // 3. return K_d + K_s
    return diffuse + specular;
    // tips:
    // Phong模型brdf实现不包括环境光项; 其I/r^2项包含在光源采样步骤中, 因此brdf中不包含I/r^2。
}
```

#### 1.2 结果验证

耗时 6.90s 得到渲染结果:

```
pro@prodeMacBook-Pro-2 bin % ./Moer /Users/pro/Desktop/Rendering_labs/Moer-lite/examples/lab2-test/phong
Using acceleration type embree
100% [|||||]
Rendering costs 6.90s
```

#### 1.3 分析不同参数的影响

•  $k_d$  和  $k_s$  分别是漫反射系数和镜面反射系数, 取值范围在 $[0,1]$ 之间,  $p$  是高光衰减系数, 取值范围为 $[1,100]$

- 采用控制变量法分别探究三个参数对渲染结果的影响

(1) kd 参数的影响

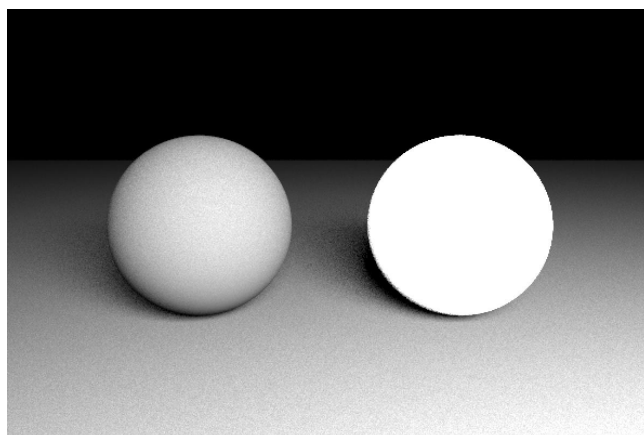
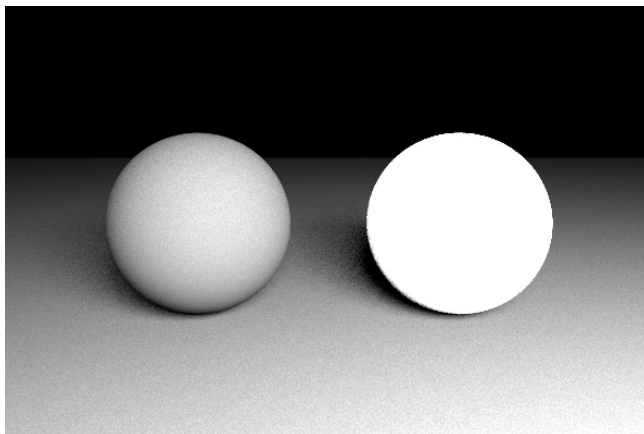
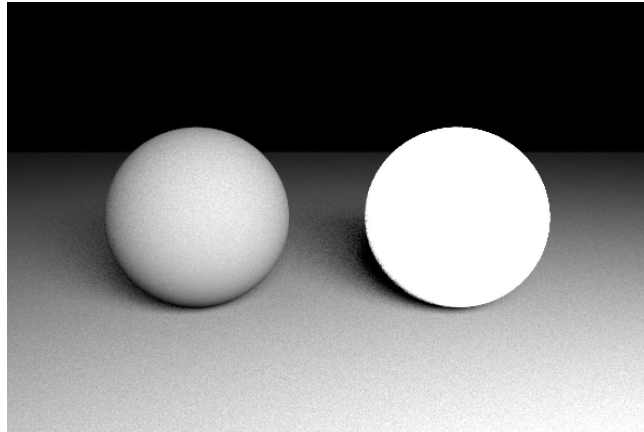
修改模型参数分别为:

"kd" : [0, 0, 0], "ks" : [1.0, 1.0, 1.0], "p" : 64

"kd" : [0.5, 0.5, 0.5], "ks" : [1.0, 1.0, 1.0], "p" : 64

"kd" : [1.0, 1.0, 1.0], "ks" : [1.0, 1.0, 1.0], "p" : 64

得到以下三张渲染结果:



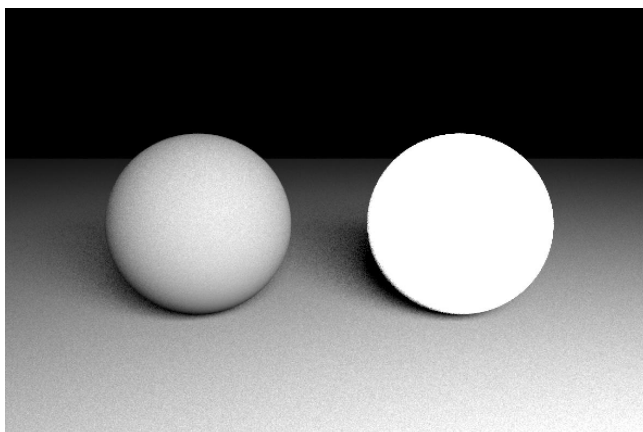
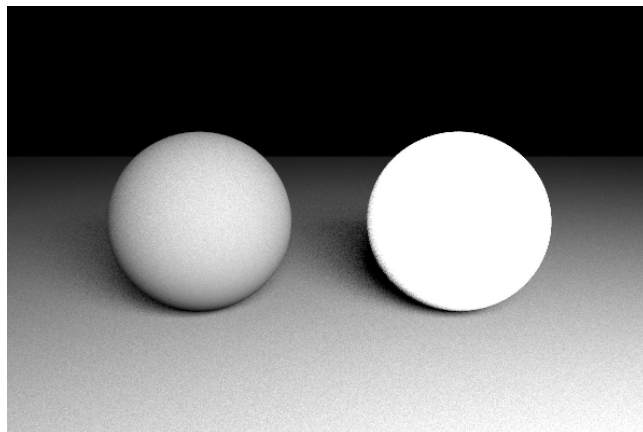
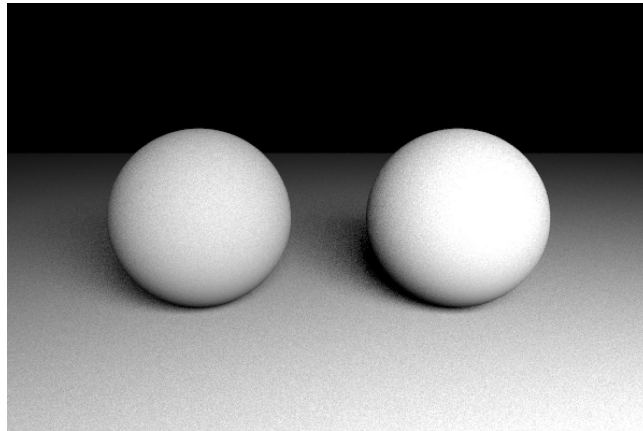
对比可以得出结论:

kd 越大, 物体表面对漫反射光的反射越强, 物体表面颜色越明亮。

(2) ks 参数的影响

修改模型参数分别为:

`"kd" : [0.3, 0.3, 0.3], "ks" : [0, 0, 0], "p" : 64`  
`"kd" : [0.3, 0.3, 0.3], "ks" : [0.5, 0.5, 0.5], "p" : 64`  
`"kd" : [0.3, 0.3, 0.3], "ks" : [1.0, 1.0, 1.0], "p" : 64`  
 得到以下三张渲染结果:



对比可以得出结论:

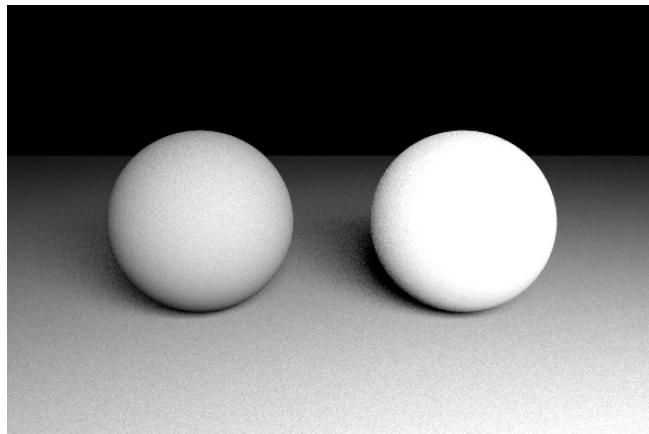
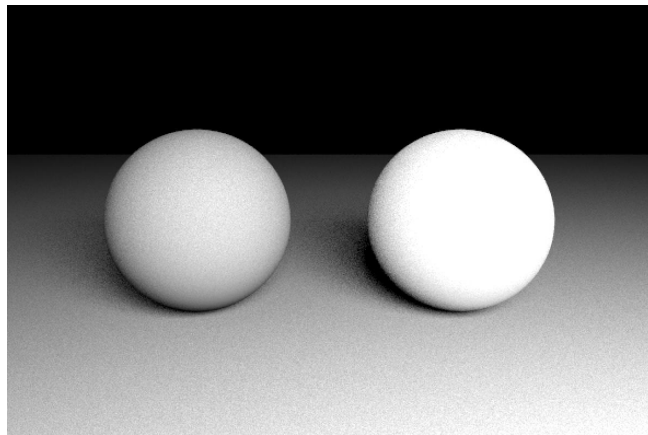
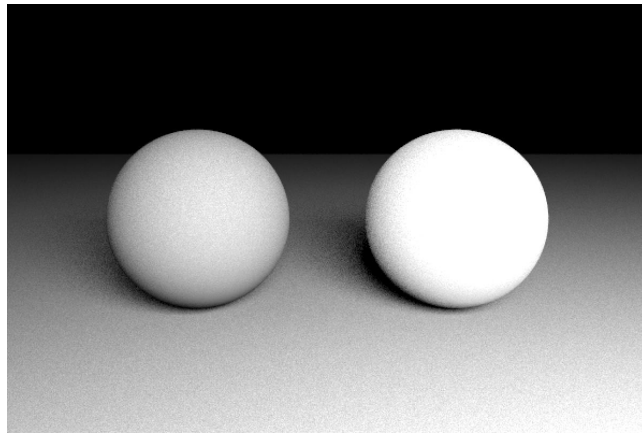
$k_s$  越大, 物体表面对镜面反射光的反射越强, 物体表面的高光越明显.

### (3) $p$ 参数的影响

修改模型参数分别为:

`"kd" : [0.3, 0.3, 0.3], "ks" : [0.1, 0.1, 0.1], "p" : 1`  
`"kd" : [0.3, 0.3, 0.3], "ks" : [0.1, 0.1, 0.1], "p" : 50`  
`"kd" : [0.3, 0.3, 0.3], "ks" : [0.1, 0.1, 0.1], "p" : 100`

得到以下三张渲染结果：



对比可以得出结论：

$p$  越大，物体表面的高光越尖锐，反之，高光越模糊。

#### (4) 总结

漫反射系数  $k_d$ ：  $k_d$  越大，物体表面对漫反射光的反射越强，物体表面颜色越明亮。

镜面反射系数  $k_s$ ：  $k_s$  越大，物体表面对镜面反射光的反射越强，物体表面的高光越明显。

反射高光系数  $p$ ：  $p$  越大，物体表面的高光越尖锐，反之，高光越模糊。

## 1.4 思考题

请回答：什么情况下，原始的 Phong 模型（公式 1）会产生错误的结果？

由于 phong 模型是基于经验公式而不是严格的物理模型得出的，因此原始的 Phong 模型在处理较大粗糙度（即高光区域模糊）的物体表面时会产生错误的结果。同时，Phong 模型也不能很好地处理镜面反射和折射，因为它只考虑了漫反射和镜面高光，而没有考虑折射和次表面散射等其他现象。

## 二、基于物理的模型

### 1. Oran-Nayar 模型

#### 1.1 补全代码

(1) 根据计算公式

$$f_r(\omega_o, \omega_i) = \frac{\rho}{\pi} (A + B \max(0, \cos(\phi_i - \phi_o)) \sin \alpha \tan \beta) \quad (2)$$

$$A = 1 - \frac{\sigma^2}{2(\sigma^2 + 0.33)}, B = \frac{0.45\sigma^2}{\sigma^2 + 0.09}, \alpha = \max(\theta_o, \theta_i), \beta = \min(\theta_o, \theta_i) \quad (3)$$

将各个变量反映到代码中：

- $\rho$  即代码中的 albedo
- $\phi, \theta$  均为向量在球坐标系下的坐标，在代码中，球坐标系里 y 轴向上
- $\sigma$  为粗糙度系数，代码中已给出
- 代码中的光线方向均默认由物体向外
- 代码中的局部法线方向均默认为 y 轴方向
- f() 函数最后返回的是  $\text{brdf} * \cos$



### The Reflection Equation



- The reflected radiance is due to the radiance arriving from all directions weighted by the BRDF relating the incoming:

$$L_r(\vec{\omega}_r) = \int_{\Omega_i} f_r(\vec{\omega}_i \rightarrow \vec{\omega}_r) L_i(\vec{\omega}_i) \cos \theta_i d\omega_i$$



(4) 确定步骤

- 转换坐标系到局部坐标
- 根据公式计算 A, B,  $\alpha$ ,  $\beta$ （可以直接求  $\sin \alpha, \tan \beta$ ）， $\cos(\phi_i - \phi_o)$
- $\text{brdf} * \cos$

(5) 代码

```

class OrenNayarBSDF : public BSDF {
public:
    OrenNayarBSDF(const Vector3f &_normal, const Vector3f &_tangent,
                  const Vector3f &_bitangent, Spectrum _albedo, float _sigma)
        : BSDF(_normal, _tangent, _bitangent), albedo(_albedo), sigma(_sigma) {}

    virtual Spectrum f(const Vector3f &wo, const Vector3f &wi) const override {
        Spectrum diffuse{0.f};
        // TODO
        // 1. 转换坐标系到局部坐标
        Vector3f win=toLocal(wi); //这里表示光照方向, 是入射方向的反方向
        Vector3f wout=toLocal(wo);

        // 2. 计算 A, B, \alpha, \beta (可以直接求\sin\alpha, \tan\beta), \cos(\phi_i-\phi_o)
        float A=1-(pow(sigma,2)/(2*(pow(sigma,2)+0.33)));
        float B=(0.45*pow(sigma,2))/(pow(sigma,2)+0.09);
        float cosine=0.f, sinAlpha=0.f, tanBeta=0.f;

        float thetaI=acos(dot(normalize(win), Vector3f(0,1,0)));
        float thetaO=acos(dot(normalize(wout), Vector3f(0,1,0)));
        if(thetaI>thetaO) {sinAlpha=sin(thetaI); tanBeta=tan(thetaO);}
        else {sinAlpha=sin(thetaO); tanBeta=tan(thetaI);}

        float phiI=atan2(win[2], win[0]); //球坐标, y轴向上
        float phiO=atan2(wout[2], wout[0]);
        cosine=cos(phiI-phiO);
        if(cosine<0) cosine=0;

        // 3. return Oren-Nayar brdf
        diffuse=albedo*INV_PI*(A+B*cosine*sinAlpha*tanBeta);
        return diffuse*cos(thetaI); //注意最后要乘以cos
    }
};

```

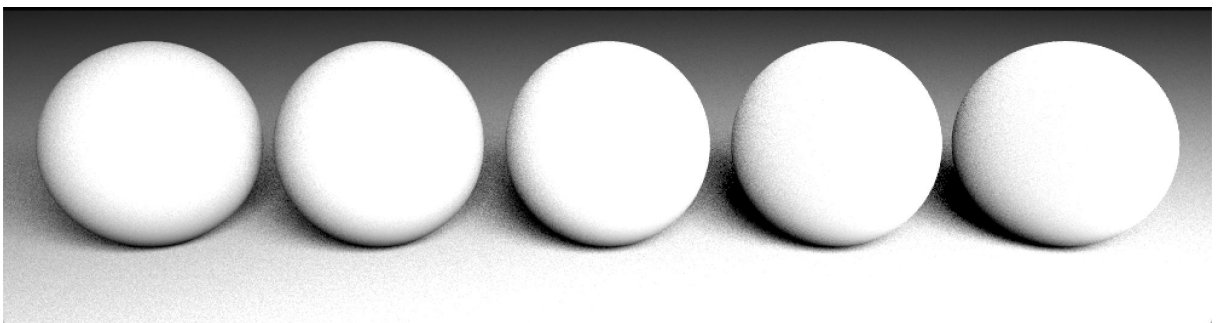
## 1.2 结果验证

耗时 11.15s 得到渲染结果:

```

pro@prodeMacBook-Pro-2 bin % ./Moer /Users/pro/Desktop/Rendering_labs/Moer-lite/
examples/lab2-test/oren-nayar
Using acceleration type embree
100% [||||||||||||||||||||||||||||||||||||||||||||||||||||||||||||]
Rendering costs 11.15s

```



## 2. Torrance-Sparrow 模型

### 2.1 补全代码

(1) 根据计算公式

$$f_r(p, \omega_o, \omega_i) = \frac{D(\omega_h)G(\omega_o, \omega_i)F_r(\omega_o)}{4(\mathbf{n} \cdot \omega_o)(\mathbf{n} \cdot \omega_i)} \quad (4)$$

将各个变量反映到代码中:



- $\mathbf{n}$  为该表面的宏观法线方向,
- $\omega_h$  或者写为  $\mathbf{m}$  为微观表面法线(也是光线入射出射方向的半程向量)
- $D$  为材质表面的法线分布函数,  $G$  为材质表面的几何衰减项,  $Fr$  为菲涅尔反射项

(6) 确定步骤

- 转换坐标系到局部坐标
- 计算  $D(\omega_h)$ 
  - Beckmann-Spizzichino 模型

$$D_b(\omega_h) = \frac{e^{-\frac{\tan^2 \theta}{\alpha^2}}}{\pi \alpha^2 \cos^4 \theta}$$

参数  $\alpha$  决定了函数分布的幅度, 由表面的粗糙度决定;  $\theta$  为微观法线与宏观法线的夹角。

- GGX 模型

$$D_{tr}(\omega_h) = \frac{\alpha^2}{\pi \cos^4 \theta (\alpha^2 + \tan^2 \theta)^2}$$

- 计算  $G(\omega_o, \omega_i)$ 
  - Beckmann-Spizzichino 模型

$$G_1^b(\omega) \approx \begin{cases} \frac{3.535a + 2.181a^2}{1 + 2.276a + 2.577a^2}, & a < 1.6 \\ 1, & otherwise \end{cases}$$

- GGX 模型

$$G_1^{tr}(\omega) = \frac{2}{1 + \sqrt{1 + \alpha^2 \tan^2 \theta_v}}$$

其中,  $a = \frac{1}{\alpha \tan \theta_v}$ ,  $\theta_v$  是光线方向与宏观法线的夹角。

- 计算  $Fr(\omega_o)$

导体 (Conductor) 和电介质 (Dielectric) 材质具有不同的菲涅尔效应, 其对应的菲涅尔方程也不同

- 导体材质: 直接调用框架给出的菲涅尔函数
- 电介质材质: 调用框架给出的菲涅尔函数, 不考虑多重介质, 如果光线从真空射入介质, 其  $\eta$  即配置中填写的  $\eta$ ; 如果光线从介质射出, 则  $\eta = 1/\eta$

(7) 代码

- Conductor 材质各向同性的微表面模型

```

class RoughConductorBSDF : public BSDF {
public:
    RoughConductorBSDF(const Vector3f &_normal, const Vector3f &_tangent,
                       const Vector3f &_bitangent, Spectrum _albedo,
                       Vector2f _alpha, Vector3f _eta, Vector3f _k, NDF *_ndf)
        : BSDF(_normal, _tangent, _bitangent), albedo(_albedo), alpha(_alpha),
          eta(_eta), k(_k), ndf(_ndf) {}

    virtual Spectrum f(const Vector3f &wo, const Vector3f &wi) const override {
        Spectrum specular{0.f};
        // TODO
        // 1. 转换坐标系到局部坐标
        Vector3f wout=toLocal(wo);
        Vector3f win=toLocal(wi); //入射光改为从外向交点

        // 2. 根据公式计算 Fr, D, G
        float D,G;
        Vector3f wh=(wout+win)/(wout+win).length(); //微观表面法线
        D=ndf->getD(wh,alpha);
        G=ndf->getG(wout,win,alpha);

        //计算Fr
        float thetaI=acos(dot(normalize(win),Vector3f(0,1,0)));
        float theta0=acos(dot(normalize(wout),Vector3f(0,1,0)));
        Vector3f Fr=getFr(theta0);
        // 3. return albedo * D * G * Fr / (4 * \cos\theta_o);
        // tips: brdf
        // 中分母的\cos\theta_i项被渲染方程中的cos项消去, 因此分母只有4*\cos\theta_o
        specular=albedo*D*G*Fr/(4*cos(theta0));
        return specular;
    }
}

```

- Dielectric 材质各向同性的微表面模型

```

class RoughDielectricBSDF : public BSDF {
public:
    RoughDielectricBSDF(const Vector3f &_normal, const Vector3f &_tangent,
                        const Vector3f &_bitangent, Spectrum _albedo,
                        Vector2f _alpha, float _eta, NDF *_ndf)
        : BSDF(_normal, _tangent, _bitangent), albedo(_albedo), alpha(_alpha),
          eta(_eta), ndf(_ndf) {}

    virtual Spectrum f(const Vector3f &wo, const Vector3f &wi) const override {
        Spectrum specular{0.f};
        // TODO
        // 1. 转换坐标系到局部坐标
        Vector3f wout=toLocal(wo);
        Vector3f win=toLocal(wi);

        // 2. 根据公式计算 Fr, D, G
        float D,G;
        Vector3f wh=(wout+win)/(wout+win).length();//微观表面法线
        D=ndf->getD(wh,alpha);
        G=ndf->getG(wout,win,alpha);

        //计算Fr
        float thetaI=acos(dot(normalize(win),Vector3f(0,1,0)));
        float thetaO=acos(dot(normalize(wout),Vector3f(0,1,0)));
        Vector3f Fr;
        if(eta>1) Fr=getFr(eta,thetaO);//从真空射入介质//? 判断标准存疑
        else Fr=getFr(1/eta,thetaO);
        // 3. return albedo * D * G * Fr / (4 * \cos\theta_o);
        // tips:
        // 不考虑多重介质, 如果光线从真空射入介质, 其eta即配置中填写的eta;
        // 如果光线从介质射出, 则eta = 1/eta
        specular=albedo*D*G*Fr/(4*cos(thetaO));
        return specular;
    }
}

```

## • Beckmann 模型

```

class BeckmannDistribution : public NDF {
public:
    BeckmannDistribution() noexcept = default;
    virtual ~BeckmannDistribution() noexcept = default;
    virtual float getD(const Vector3f &whLocal,
                      const Vector2f &alpha) const noexcept override {
        // TODO
        // 根据公式即可
        // 宏观法线就是(0,1,0)
        float theta=acos(dot(normalize(whLocal),Vector3f(0,1,0)));
        return INV_PI*exp((-1)*pow(tan(theta),2)/dot(alpha,alpha))/(dot(alpha,alpha)*pow(cos(theta),2));
        //return 0.f;
    }
    // tips:
    // float getG1(...) {}
    virtual float getG(const Vector3f &woLocal, const Vector3f &wiLocal,
                      const Vector2f &alpha) const noexcept override {
        // TODO
        // 根据公式即可
        // tips: return getG1(wo) * getG1(wi);
        float gi=1,go=1;
        //Vector3f wh=(woLocal+wiLocal)/(woLocal+wiLocal).length();//微观表面法线
        float thetaI=acos(dot(Vector3f(0,1,0),normalize(wiLocal)));
        float thetaO=acos(dot(Vector3f(0,1,0),normalize(woLocal)));
        float ai=1/(alpha.len()*tan(thetaI));//? 这里alpha.len()存疑
        float ao=1/(alpha.len()*tan(thetaO));
        if(ai<1.6) gi=(3.535*ai+2.181*ai*ai)/(1+2.276*ai+2.577*ai*ai);
        if(ao<1.6) go=(3.535*ao+2.181*ao*ao)/(1+2.276*ao+2.577*ao*ao);

        return gi*go;
    }
}

```

- GXX 模型

```
class GGXDistribution : public NDF {
public:
    GGXDistribution() noexcept = default;
    virtual ~GGXDistribution() noexcept = default;
    virtual float getD(const Vector3f &whLocal,
        const Vector2f &alpha) const noexcept override {
        // TODO
        // 根据公式即可
        float theta=acos(dot(normalize(whLocal),Vector3f(0,1,0)));
        return INV_PI*dot(alpha,alpha)/(pow(cos(theta),4)*pow(dot(alpha,alpha)+tan(theta)*tan(theta),2));
        //return 0.f;
    }
    // tips:
    // float getG1(...) {}
    virtual float getG(const Vector3f &woLocal, const Vector3f &wiLocal,
        const Vector2f &alpha) const noexcept override {
        // TODO
        // 根据公式即可
        // tips: return getG1(wo) * getG1(wi);
        float gi=1,go=1;
        Vector3f wh=(woLocal+wiLocal)/(woLocal+wiLocal).length();//微观表面法线
        float thetaI=acos(dot(Vector3f(0,1,0),normalize(wiLocal)));
        float thetaO=acos(dot(Vector3f(0,1,0),normalize(woLocal)));

        gi=2/(1+sqrt(1+dot(alpha,alpha)*pow(tan(thetaI),2)));
        go=2/(1+sqrt(1+dot(alpha,alpha)*pow(tan(thetaO),2)));

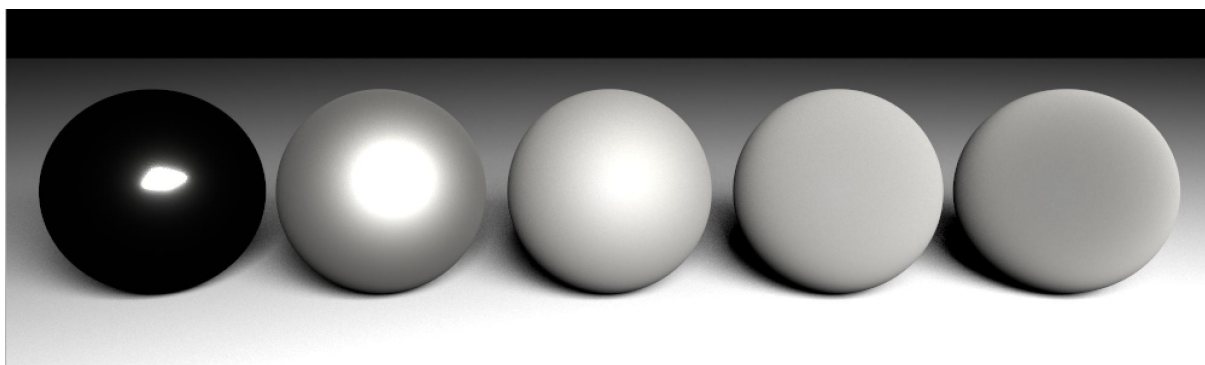
        return gi*go;
        //return 0.f;
    }
};
```

## 2.2 结果验证

- conductor-gxx 模型

耗时 190.95s 得到渲染结果:

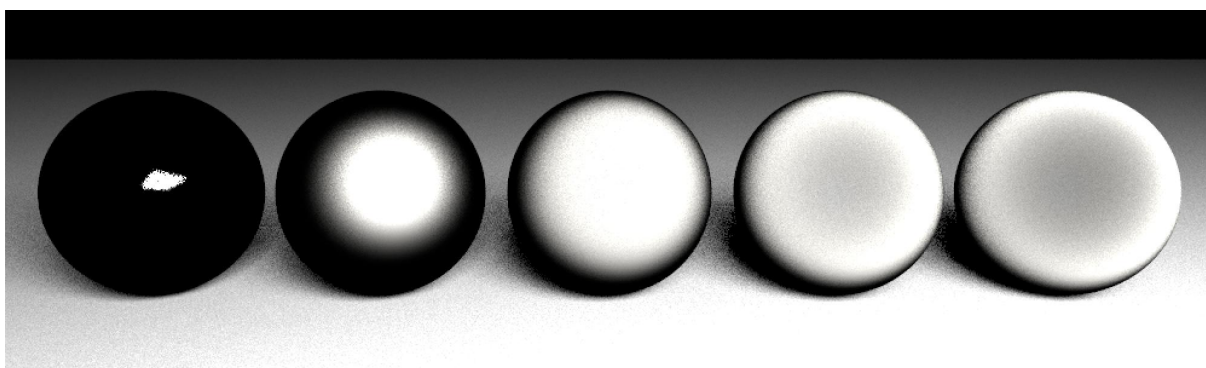
```
pro@prodeMacBook-Pro-2 bin % ./Moer /Users/pro/Desktop/Rendering_labs/Moer-lite/examples/lab2-test/conductor-ggx
Using acceleration type embree
100% [|||||]
Rendering costs 190.95s
```



- conductor-beckmann 模型

耗时 12.43s 得到渲染结果:

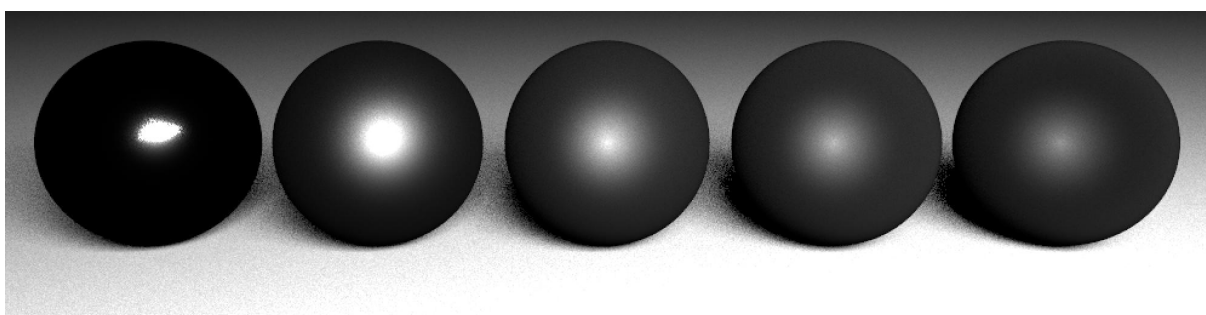
```
pro@prodeMacBook-Pro-2 bin % ./Moer /Users/pro/Desktop/Rendering_labs/Moer-lite/examples/lab2-test/conductor-beckmann
Using acceleration type embree
100% [|||||]
Rendering costs 12.43s
```



• dielectric-ggx 模型

耗时 12.05s 得到渲染结果:

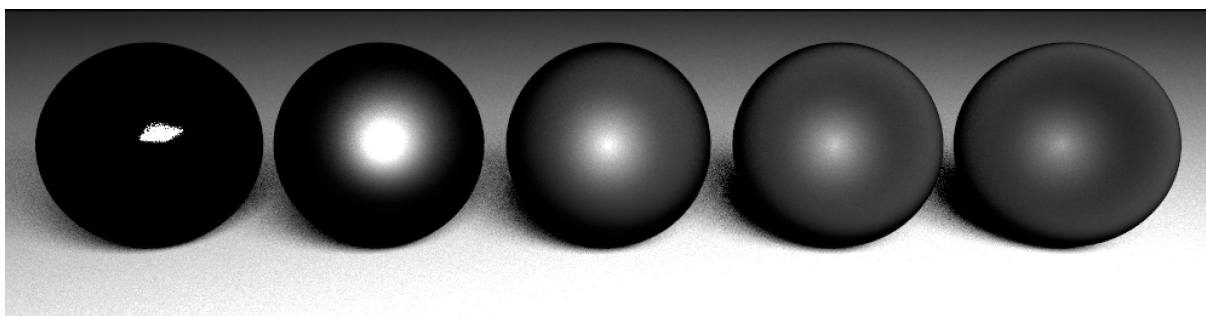
```
pro@prodeMacBook-Pro-2 bin % ./Moer /Users/pro/Desktop/Rendering_labs/Moer-lite/examples/lab2-test/dielectric-ggx
Using acceleration type embree
100% [|||||]
Rendering costs 12.05s
```



• dielectric-beckmann 模型

耗时 11.96s 得到渲染结果:

```
pro@prodeMacBook-Pro-2 bin % ./Moer /Users/pro/Desktop/Rendering_labs/Moer-lite/examples/lab2-test/dielectric-beckmann
Using acceleration type embree
100% [|||||]
Rendering costs 11.96s
```



## 2.3 分析选用不同模型的影响

- 使用 Beckmann 模型会产生非常锐利的高光和阴影。而在 GGX 模型中，产生的高光和阴影比较平滑。

- 原因：在 Beckmann 模型中，NDF 的尾部非常重，因此会产生非常锐利的高光和阴影。而在 GGX 模型中，尾部被削弱，因此产生的高光和阴影比较平滑。

【参考 [图形渲染基础：微表面材质模型](#)】

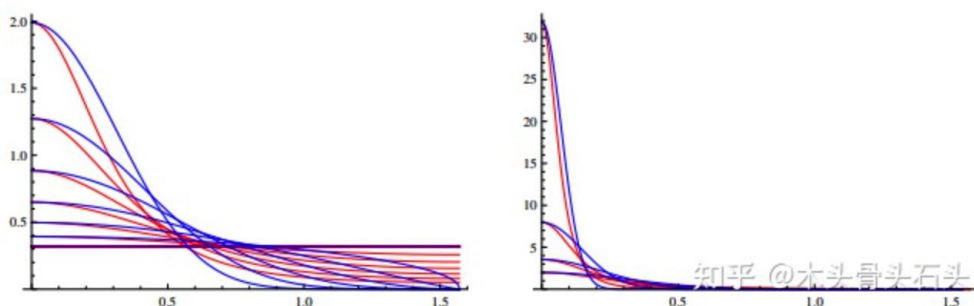


### 1.3 Trowbridge-Reitz 分布

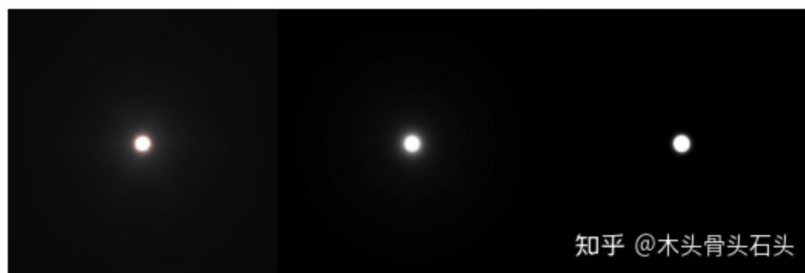
Trowbridge-Reitz 分布又称为 GGX 分布，其形式为：

$$D_{tr} = \frac{\alpha_{tr}^2}{\pi((\vec{n} \cdot \vec{h})^2(\alpha_{tr}^2 - 1) + 1)^2}$$

参数  $\alpha_{tr}$  与  $\alpha_b$  功能类似，随着  $\alpha_{tr}$  的增加，表面越粗糙。Trowbridge-Reitz 与 Beckmann 分布类似，也能表示超级粗糙的表面，但相比于 Beckmann 和 Phong，GGX 分布有一大特点，如下图：



其中，蓝色曲线表示 Phong，红色曲线表示 GGX。两者形状，大致相同，但 GGX 的峰值更窄，同时在  $\vec{h}$  与  $\vec{n}$  夹角接近 90 度时，函数值不为 0，这意味着 GGX 的高光有更长的“拖尾”。



上图中，左图来自金属铬的真实图片，中间是 GGX，右边是 Beckmann。GGX 因为这一特性，在工业界得到广泛应用。

## 三、 总结

### 1. 遇到的问题

#### (1) 渲染时间过长

确保是 release 版本。debug 版本性能较差，使用 cmake 修改生成版本，确保使用 cmake 生成的是 release 版本。

#### (2) Oren-Nayar 模型渲染出的结果全是白色没有细节

函数 f() 的返回值其实是  $\text{brdf} \cdot \cos$

## 四、 参考博客

- [1] [基于物理的 BSDF: Microfacet Model \(微表面模型\)](#)
- [2] [图形渲染基础: 微表面材质模型](#)